

(3) 式が導かれ

$$\alpha_{Cr} = N_{Cr} \cdot e^{-2.3 \times 9 N_{Cr} \cdot N_C / (1 - N_C)^2} \quad \dots \dots \dots (3)$$

本式より α_{Cr} と N_{Cr} の関係を求めるとき Fig. 1 実線となる。同図には $N_C = 0.04, 0.08, 0.10, 0.15, 0.20, 0.24$ の結果を示したが、これより $\alpha_{Cr} - N_{Cr} - N_C$ の3者の関係を定量的に知る事が出来る。即ち Fe-Cr 2元溶液に C が添加されるにつれ Raoult's law よりの偏差は大となり、極限として $N_C = 0.24$ で示す程度まで変る。C 濃度が低い間は Cr がかなり高濃度まで Raoult's law からの偏差は少い事も判る。

次に C の活量に及ぼす Cr の影響についても同様に $\tau_{Cr}^{Cr} = \tau_C / \tau'_C$ を求める事が出来る。別報 Cr 添加による C 鮫和溶解度変化、並びに平衡測定を行つた Richardson, Dennis の結果等を組合せ、C の活量を求め、等活量線を Fe-Cr-C 3元図上に示すと Fig. 3 点線の如き結果を得る。図中 $a_C = 0.05$ で示す実線は Richardson, Dennis の結果で可成り一致した傾向を示している。尙

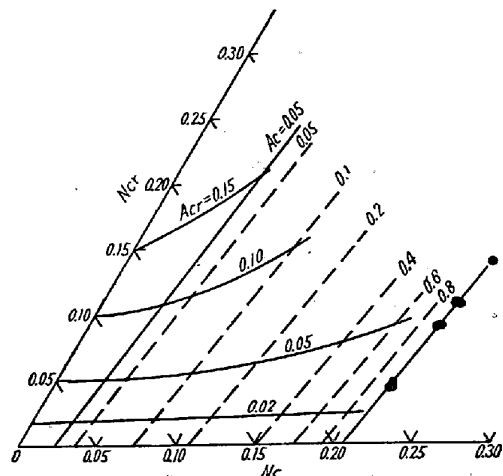


Fig. 3. Iso activity lines of Cr and C in Fe-Cr-C alloys, at 1,540°C.

同図上に Cr の等活量線を実線で示した。本図より Cr, C の共存下に於ける両元素の挙動を覗う事が出来る。

以上の実験結果より不銹鋼熔解時に於ける脱炭の困難性は Cr 添加により C の活量減少に基く事、或は又 Cr-C-T の関係を知るために α_{Cr} , a_C を用いなくとも、C 濃度の低い場合には N_{Cr} , N_C そのままを使用しても大した誤りはない。が然し Cr 濃度が或る程度大となると偏差は大となり、活量を用いなければならない事を知る。

(73) 鋼鉄に及ぼす Zn の影響について

て

(The Effect of Zn on Pig Iron)

Isao Aoki, et alius.

富士製鐵 K.K., 鑑石製鐵所研究所

○青木猪三雄・鳥取友治郎

I. 緒 言

主として平炉銑吹製の場合のみであるが熔鉢炉の出銑に際し、時折白煙をともなうことがあり、これら白煙を分析した結果主成分は Zn の酸化物であることが明らかである。現在これら白煙の発生は高炉の炉況と重大な関係があり種々調査研究がなされている。それには熔銑中における Zn の挙動及びその影響等についても研究することが必要になつて来た。さきに前川氏は Zn 添加による延性鋳鉄製造を研究し鋳鉄に及ぼす Zn の影響を相当詳しく述べた。著者等の研究では前川氏の研究と幾分異なる結果も生じ、かつ前川氏は熔鉢中での Zn の挙動等については明確にされてないので、これらについて検討しあはせて含亜鉛銑鉄を使用した場合の鋳鉄に及ぼす影響について研究した。

II. 熔鉢中の Zn 及びその影響について

(1) 熔鉢中の Zn について

低温度での Fe に対する Zn の固溶度についてはすでに明らかにされているが、熔融温度範囲のものについては明確にされてないようである。しかし高炉出銑時にみられる白煙の発生等の点から考えて熔鉢中には或る程度の Zn 量が溶解し得るものと想像される。まず熔鉢に Zn を添加した場合の残留 Zn 量について簡単に検討してみた。原料銑として C 4.19%, Si 0.83%, Mn 0.97%, P 0.14%, S 0.03%, Cu 0.14%, Zn 0.02% なる組成の平炉銑を用い Zn 添加は Cu-Zn (約 21% Zn) 合金によつた。タンマン炉にて銑鉄 100 g を溶解し 1300 °C, 1350 °C, 1400 °C, 1450 °C 及び 1500 °C の各温度にて 0.5% 及び 1% の Zn 添加攪拌後直ちに水冷し、又比較のために Zn 0.5% 添加後約 1 分間それぞれの温度で保持した後水冷したものについて Zn を分析した。これらの Zn 分析値と温度の関係を Fig. 1 に示す。

当然予想されるところであるが Zn 0.5% 添加のものに較べて 1% 添加せるものは残留 Zn 量多く、又温度が低い程歩留大である。添加後 1 分間保持せるものは保持期間中に白煙の発生がみられ Zn 量は 0.03~0.07% の値を示している。又 1500 °C の場合には添加量の多少及び保持時間の長短に余り関係せず約 0.04% の値を示す。尙実際熔鉢炉にて白煙を伴う場合、出銑直後湯溜部附近で熔鉢を採取せるものと湯道の末部にて採取したものと

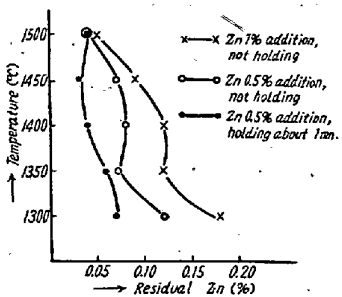


Fig. 1 Relation between residual Zn% and temperature.

について Zn を分析した結果、湯溜部附近のものは Zn 0.22~0.23% の値を示し湯道未部のものでは 0.11~0.12% の値を示しており熔銑が湯道を流れる間に白煙の発生がみられる。

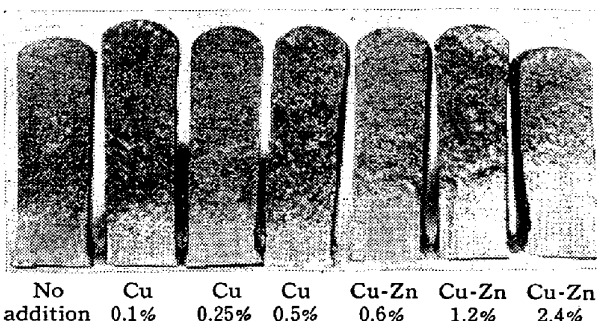
以上の実験室での Zn 添加の実験及び実際熔鉢炉熔銑の Zn の分析結果からみて白煙発生時には熔鉢炉内にては熔銑中にかなりの Zn が溶けていることが判る。これは熔鉢炉にては熔銑の上に鉱滓層がありそれは又相当の風圧を受けているので熔銑は恰も密閉容器内にあると考えられ、常圧の溶解度以上の Zn の溶解が考えられる。それ故出銑と同時に熔銑にかかる圧はなくなるので今まで溶解していた Zn は蒸気となつて熔銑から逸出し酸化して白煙となるのである。

(2) チル化について

白煙の発生がみられる熔銑を砂型試料(約 35×38×120mm)に採取した際著しくチル化していることを実際に経験したが、実験室的にチル化に及ぼす Zn の影響を調べてみた。銑鉄 500g を 1400°C で熔解し Cu 及び Cu-Zn 合金を添加し際の添加%とチルの関係は Photo. 1 に示すごとくで Cu の増加はチルの深さを減じ、Cu-Zn 合金を用いて Zn を添加した場合、Cu 増加を伴なうにかかわらずチルは著しく増大する。

(3) 熱分析の結果

Zn のチル化促進作用と関聯して次に共晶点に及ぼす Cu 及び Zn の影響を調べた。銑鉄 100g をタンマン炉にて 1400°C に熔解しこの温度で Cu 0.1, 0.2, 0.5% 及び Cu-Zn 0.6, 1.2, 2.4% の添加を行い熱分析せる



結果、Cu 増加は共晶点を幾分上昇させ Cu-Zn 添加の場合は Zn 増加と共に Cu 増加するにかかわらず共晶点は幾らか低下する傾向を示し、Zn は共晶点低下の方向に作用するものであることが確かめられた。

II. 黒鉛球状化及び機械的性質について

次に Zn を含む銑鉄を使用した場合の Mg による黒鉛球状化及び機械的性質を検討するために C 4.0%, Si 1.80%, Mn 0.30%, P 0.07%, S 0.030% なる铸物銑 5kg を 1350°C にて熔解し Cu 約 0.25% 及び Cu-Zn 合金約 1.2% をそれぞれ添加して原料とした。試料の成分は Table 1 に示す。

(1) Mg による球状化試験

Table 1 の A, B 銑を 1450°C で熔解しその温度で約 10 分間保持したものとしないものについて 1400°C にて Mg 0.5% 表面添加を行い、25mmφ の乾燥砂型に铸造して球状化能を調べた。その結果 1450°C で保持せずに Mg 処理した場合、A 銑は殆んど完全な球状黒鉛を示すが B 銑は極く僅かの球状黒鉛を示すのみである。しかし B 銑を約 10 分間保持した場合のものは相当球状化する。即ち Zn は明らかに Mg による黒鉛球状化を害するが含亜鉛銑鉄も再熔解の際熔融状態で或程度保持攪拌することにより Zn が減少し Mg による球状化容易なものとなる。

(2) 機械的性質

含亜鉛銑鉄を用いて製造せる铸鐵の機械的性質をみるとために A 銑及び B 銑に銅膏 2割を配合して C 約 3%, S

Table 1 Chemical composition.

Mark	Addition (%)	C	Si	Mn	P	S	Cu	Zn	Structure
A	Cu 0.25	3.90	1.76	0.26	0.086	0.027	0.32	0.014	Gf+P+F
B	Cu-Zn 1.2%	3.85	1.77	0.26	0.093	0.022	0.22	0.116	Gf+Gg+P+F

Gf=Flaky graphite

Gg=Granular graphite

約1.4%になる如く溶解した。その結果A銑を用いたものもB銑を用いたものも抗張力約 25 kg/mm^2 を示し殆んど差異は認められなかつた。

III. 総括

熔鉱炉にて出銑時に白煙を生ずることがあり、この問題に關聯して銑鉱中のZnの挙動及びその影響について考察した。

(1) 熔鉱へのZn添加の実験及び實際熔鉱炉にて白煙を発生する場合のZnの分析結果等からみて熔鉱炉内にては溶解の上に鉱滓層がありそれは又相当の風圧を受けているので白煙発生時には高炉内の熔鉱中に常圧の溶解度以上のZnの溶解が考えられる。それ故出銑と同時に熔鉱にかかる圧力はなくなるので今まで溶解していたZnは蒸気となつて熔鉱から逸出し酸化して白煙となる。

(2) Znは著しくチル化を促進し共晶点は幾分低下させることが確認された。

(3) 熔鉱中のZnはMgによる黒鉛球状化を害するが、これらZnは再溶解により減ずるので高温にて或程度保持すればその悪影響は相当減ずる。

(4) 約1%Znを含む銑鉱に鋼骨を配合して製造せる銑鉱の機械的性質は殆んどZnを含まない銑鉱を用いて製造せるもののそれと殆んど差異は認められなかつた。

尚、本実験におけるZn分析はチチソン混色法によつて行われた。

(74) 耐酸高珪素铸鉱に関する研究

(III)

(機械的性質、耐酸性及び凝固収縮率に及ぼす添加元素の影響)

Studies on Acid-Resisting High-Silicon Iron (III)

(Influence of added Elements on Mechanical, Acid-Resisting Properties and Shrinkage)

Osamu Tojima et alii.

京都大学工学部 工博 沢 村 宏

共同機械製作所 理○田 島 治

京都大学工学部 工 赤 松 経 一

I. 緒言

第I報(第48回大会)において耐酸高珪素铸鉱の機械的性質、耐酸性及び凝固収縮率に及ぼすSi、C含有

量の影響、第II報(第49回大会)において高珪素铸鉱中に添加されたMn、P、S、Ni、Cr、V、Bの影響について報告したのであるが更に引き続きCo、Cu、Ti、Al、As、Snの影響について実験を行つたのでその結果を報告する。

II. 実験方法

a) 試験片作成

第I報、第II報と全く同一方法で溶解、铸造し同一形状、寸法の試験片を作成し成分は種々の割合で添加元素を加えSi約15%、C約0.5%一定となる様原料を配合した。

b) 試験方法

前回同様抗折試験、凝固収縮率、腐蝕試験及び顕微鏡試験を行い添加元素の影響を検討した。

III. 実験結果

a) Co(0.2~2%)の影響

抗折力はFig. 1に示す如くCo約0.3%までは、約 23 kg/mm^2 から約 27 kg/mm^2 まで上昇して極大値を示し更にCo量増加すると減少しCo約0.5%で約 25 kg/mm^2 を示し以後Co約2%まで略々一定値約 25 kg/mm^2 を示す。凝固収縮率はCoの添加により減少する。 $1:10\text{ H}_2\text{SO}_4$ に対する耐蝕性は、Fig. 2に示す如く普通高珪素铸鉱の腐蝕減量約 3.0 mg/cm^2 より約 2.0 mg/cm^2 にCo量に無関係に改善されており、 $1:1\text{ HCl}$ に対してはCo添加による影響は認められず普通高珪素铸鉱の腐蝕減量約 3.5 mg/cm^2 と変わらない。顕微鏡組織はCo約0.3%以上では共晶状黒鉛の網目と連続して異相が現われCo量と共に多くなる。黒鉛の形状は何れも細い網目状の共晶状黒鉛である。

b) Cu(1~4%)の影響

抗折力はFig. 1に示す如くCu0.8%から2.0%

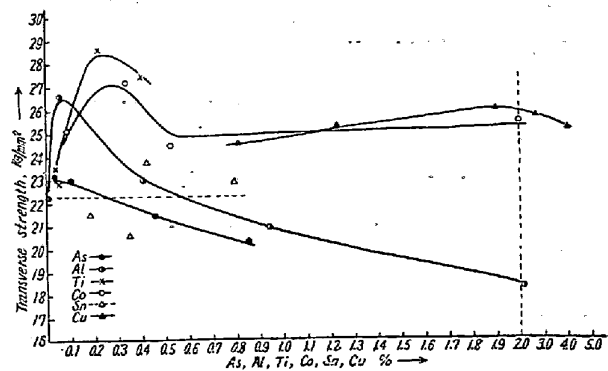


Fig. 1. Effects of added elements on the transverse strength of high silicon irons.